

УДК 662.215.2

**ОПРЕДЕЛЕНИЕ ДИНАМИЧЕСКОЙ СЖИМАЕМОСТИ ГРУНТА
ПО ПАРАМЕТРАМ ПЛОСКИХ ВЗРЫВНЫХ ВОЛН**

С. Д. Захаров, Г. М. Ляхов, С. Д. Мизякин

(Москва)

Определение динамической сжимаемости грунтов по экспериментальным значениям параметров плоских, цилиндрических и сферических взрывных волн проводилось в основном при напряжениях, не превышающих 80—100, а в отдельных случаях 250 кг/см² [1—4]. Ниже приводятся результаты экспериментального исследования плоских волн при напряжениях до 1000 кг/см². По этим данным построена зависимость напряжение — деформация, соответствующая ударному сжатию па фронте волны. Определено уплотнение грунта. Показано, что за фронтом волны продолжается рост деформаций. Остаточные деформации больше приобретаемых на фронте. Это свидетельствует о существенном влиянии вязких и пластических свойств грунта на волновой процесс.

1. Условия проведения опытов. Эксперименты проводились в песчаном грунте средней крупности, уложенном в котлован, открытый в плотном суглинке. Глубина котлована 1.1 м, длина и ширина по 1 м. Датчики для измерения напряжения устанавливались на глубине от 5 до 70 см по мере наполнения котлована. При этом песок послойно трамбовался. Перед каждым опытом котлован очищался от песка и заполнялся вновь. На каждой глубине ставилось три датчика — в центре и на расстояниях 25 и 45 см от центра. Рядом с датчиками помещались алюминиевые пластинки диаметром 4 см и толщиной 0.05 см. Измерялось их остаточное смещение, принимаемое равным смещению грунта.

Напряжение фиксировалось высокочастотными тензодатчиками. Сигналы датчиков после усиления записывались на шлейфных осциллографах Н-105. Мембранны датчиков были обращены вверх.

Волны создавались при взрыве над котлованом плоского заряда ВВ площадью 1 × 1 м². Инициирование взрыва проводилось в центре. При скорости детонации ~ 7000 м/сек время прохождения волны до края заряда составляло ~ 0,07 мсек. Применились заряды толщиной δ = 0.31 и 0.19 см, что соответствует плотности C = 5 и 3 кг/см². Заряды с δ = 0.31 см подрывались непосредственно на поверхности котлована и в воздухе на высоте 10 и 20 см, заряды с δ = 0.19 см — на поверхности, а также на поверхности при обсыпке слоем грунта толщиной 40 см, длиной и шириной по 1.8 м. Грунт над зарядом не трамбовался.

Характеристики песчаного грунта: плотность скелета γ₀ = 1.62—1.70 г/см³, влажность w = 4—8%, плотность ρ₀ = (1 + w) = 1.76 г/см³, что соответствует содержанию компонентов: газообразного α₁ = 0.28, жидкого α₂ = 0.1, твердого α₃ = 0.62. У суглинка, в котором отрывался котлован, γ₀ = 1.76—1.80 г/см³, w = 8—15%. Опыты с обсыпкой проводились в дождливый период при γ₀ = 1.62—1.70 г/см³, w = 10—17%, ρ₀ = 1.85 г/см³, что соответствует α₁ = 0.47, α₂ = 0.21, α₃ = 0.62.

2. Результаты опытов. После взрыва наблюдалось почти равномерное остаточное смещение поверхности грунта под всем зарядом. Смещение у краев было лишь на 5—10% меньше, чем в центре. Стены котлована разрушались до глубины 2—3 см.

Величины средних остаточных смещений (см) поверхности котлована и алюминиевых пластинок, установленных на разной глубине под центром котлована, приведены в табл. 1.

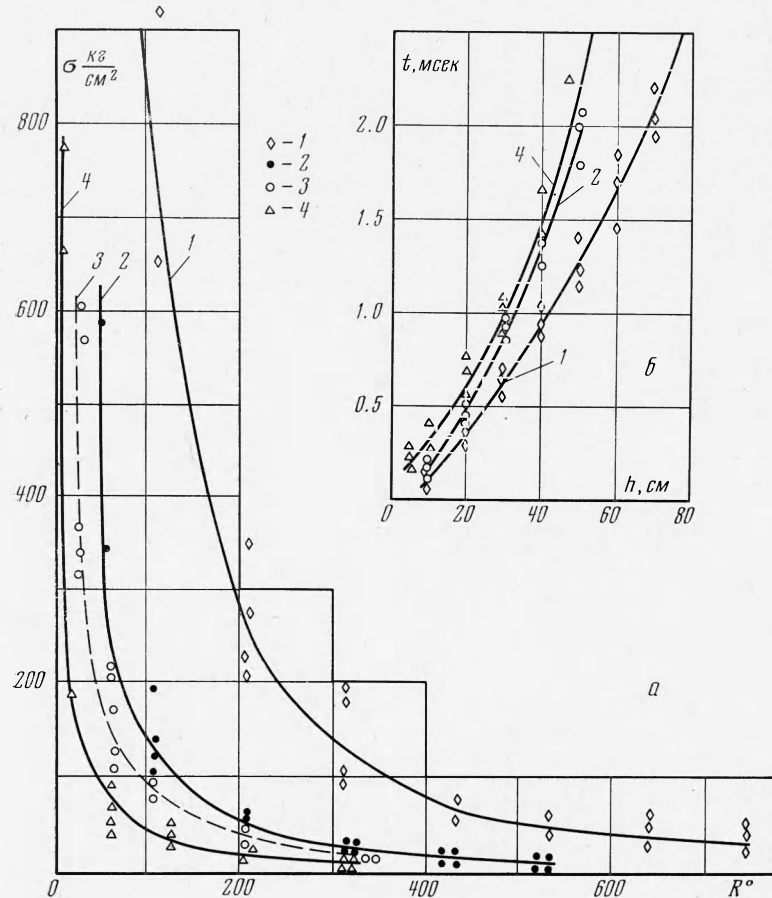
У края котлована смещения пластинок на 10—15% меньше, чем в центре, на расстоянии 25 см от центра и в центре смещения практически одинаковы.

Таблица 1

Условия взрыва	Толщина заряда, см	Начальная глубина, см							
		0	10	20	30	40	50	60	70
На поверхности	0.31	6.4	4.9	3.8	3.0	2.4	1.8	—	—
	0.19	4.2	2.9	2.2	1.8	1.5	1.3	—	—
На поверхности с обсыпкой	0.19	13.0	11.2	9.5	8.0	6.7	5.7	4.7	3.9
На высоте 10 см	0.31	5.3	4.2	3.3	2.5	2.1	1.6	—	—
На высоте 20 см	0.31	4.1	3.3	2.7	2.9	1.8	1.5	—	—

Из табл. 1 следует, что наличие обсыпки увеличивает смещение в 3.5—4 раза. При удалении заряда от поверхности смещение уменьшается.

Остаточные смещения датчиков оказались на 5—8% меньшими, чем у пластинок, хотя удельная масса датчиков на два порядка больше. Таким образом, остаточные смещения датчиков практически те же, что у окружающего грунта.



Фиг. 1

Обозначим через γ среднее значение плотности скелета грунта после взрыва в слоях толщиной 10 см, а y_1 и y_2 — величины смещений верхней и нижней границ слоя. Тогда

$$\gamma = 10\gamma_0/[10 - (y_1 - y_2)]$$

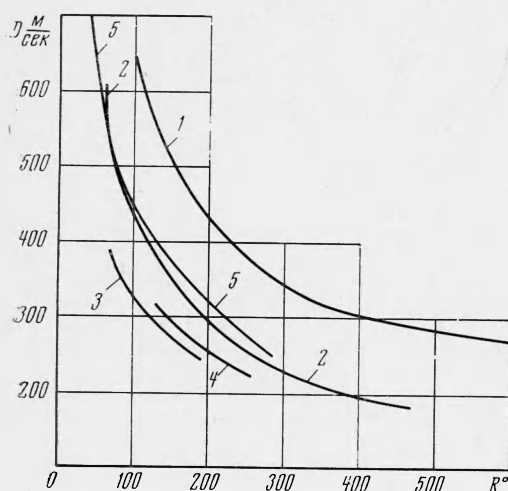
Значения γ , полученные исходя из данных табл. 1, приведены в табл. 2.

Таблица 2

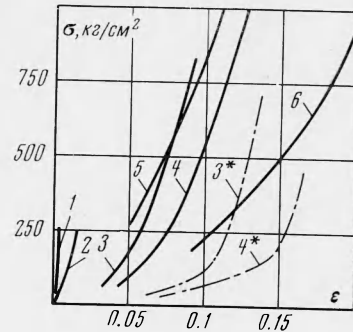
Условия взрыва	Толщина заряда, см	Начальная глубина середины слоя, см						
		5	15	25	35	45	55	65
На поверхности	0.31	1.95	1.87	1.81	1.73	1.73	—	—
	0.19	1.91	1.79	1.73	1.71	1.70	—	—
На поверхности с обсыпкой	0.19	2.03	2.00	1.95	1.91	1.85	1.85	1.81
На высоте 10 см	0.31	1.87	1.84	1.81	1.74	1.72	—	—
На высоте 20 см	0.31	1.78	1.74	1.72	1.70	1.69	—	—

Уплотнение грунта существенно зависит не только от величины заряда, но и от условий взрыва. Обсыпка заметно увеличивает, а воздушная прослойка снижает величину уплотнения. Выброс грунта обсыпки происходил на высоту 25—30 м. Поэтому можно предполагать, что дальнейшее увеличение толщины обсыпки приведет к некоторому дополнительному возрастанию плотности грунта.

Во всем исследованном интервале напряжений волны в грунте ударные. Результаты измерения параметров волны представлены на фиг. 1, а, б, 2. Во всех случаях кривые 1 соответствуют заряду с обсыпкой при $\delta = 0.19 \text{ см}$, 2 — на поверхности без обсыпки, $\delta = 0.19 \text{ см}$; 3 — в воздухе на высоте 10 см, $\delta = 0.31 \text{ см}$; 4 — в воздухе на высоте 20 см, $\delta = 0.31 \text{ см}$, 5 — на поверхности без обсыпки, $\delta = 0.31$. Зависимость максимального напряжения на фронте ударной волны от безразмерного расстояния $R^o = 2R/\delta$ представлена на фиг. 1, а. График, соответствующий заряду с $\delta = 0.31$ без обсыпки, практически совпадает с графиком 2. Графики построены по показаниям датчиков в центре котлована. У краев напряжение на 5—10% меньше, на расстоянии 25 см от центра — такое же, как в центре.



Фиг. 2



Фиг. 3

При обсыпке напряжение возрастает в 5—6 раз. Воздушная прослойка толщиной 10 см снижает напряжение в 1.8—2.2 раза, а толщиной 20 см — в 3.5—3.8 раза.

На фиг. 1, б представлены графики зависимости пути, пройденного фронтом ударной волны, от времени, отсчитываемого от момента детонации заряда.

На фиг. 2 нанесены зависимости скорости фронта волны D от безразмерного расстояния R^o , построенные по данным фиг. 1, б, а также для других исследованных случаев. Графики относятся к точкам в центре котлована. У краев значения скорости на 10—15% меньше. Сопоставление кривых на фиг. 2 показывает, что наличие обсыпки приводит к значительному возрастанию скорости фронта волны на всех исследованных расстояниях, кривые 2 и 5 практически совпадают, воздушная прослойка между зарядом и грунтом обуславливает уменьшение скорости волны в грунте. С увеличением толщины прослойки скорость снижается.

Полученные зависимости $\sigma(R^o)$ и $D(R^o)$ позволяют построить экспериментальные графики динамической сжимаемости грунта на фронте волны $\sigma(\varepsilon)$, т. е. при $\dot{\varepsilon} \rightarrow \infty$. Используя соотношения на фронте ударной волны, получим деформацию грунта, как функцию напряжения и скорости фронта

$$\varepsilon = -\sigma/\rho_0 D^2$$

Графики $\sigma(\varepsilon)$, построенные в соответствии с последним уравнением по данным фиг. 1, а и фиг. 2, приведены на фиг. 3. Для сопоставления там же приведены графики динамической сжимаемости некоторых других грунтов. Кривые 1, 2, заимствованные из работы [1], построены по экспериментальным значениям параметров ударных волн в водонасыщенных песчаных грунтах с $\alpha_1 = 0$, $\alpha_2 = 0.4$, $\alpha_3 = 0.6$ и $\alpha_1 = 0.01$, $\alpha_2 = 0.39$, $\alpha_3 = 0.6$. Кривые 5 и 6 получены [5] при динамическом сжатии образца песчаного грунта, заключенного в стакане с недеформируемыми стенками. График 5 соответствует грунту с $\alpha_1 = 0.1$, $\alpha_2 = 0.32$, $\alpha_3 = 0.58$, а график 6 — с $\alpha_1 = 0.418$, $\alpha_2 = 0.02$, $\alpha_3 = 0.58$. Кривые 3 и 4 построены по опытным данным (табл. 1, 2), они относятся соответственно к грунтам с $\alpha_1 = 0.28$, $\alpha_2 = 0.01$, $\alpha_3 = 0.62$ и $\alpha_1 = 0.17$, $\alpha_2 = 0.21$, $\alpha_3 = 0.62$.

Номера кривых возрастают с уменьшением влажности, т. е. с увеличением содержания воздуха в грунте. Объемные веса скелета у сравниваемых грунтов отличаются незначительно.

Сопоставление кривых на фиг. 3 показывает, что с увеличением α_1 , т. е. с уменьшением влажности, кривые сначала удаляются от оси напряжений, затем, начиная примерно с $\alpha_1 = 0.17$, приближаются к ней, а при $\alpha_1 > 0.21$ снова удаляются. Подобная зависимость ранее была установлена для напряжений до $30-40 \text{ кг}/\text{см}^2$.

Кривые 3^* и 4^* определены по данным табл. 1. Они соответствуют остаточным деформациям грунта, кривые сжимаемости которых на фронте ударной волны обозначены 3 и 4 .

Из сравнения кривых 3 , 4 и 3^* , 4^* следует, что остаточные деформации грунта после прохождения ударной волны существенно превышают деформации, приобретаемые на фронте. Ранее [6] подобная закономерность наблюдалась при меньшем напряжении. Таким образом, в интервале напряжений до $1000 \text{ кг}/\text{см}^2$ после скачкообразного нарастания деформаций на фронте ударной волны, в период уменьшения напряжения, происходит дальнейший рост деформаций. За периодом падения напряжения и роста деформаций, по-видимому, следует период одновременного уменьшения обеих этих величин. Однако уменьшение деформаций меньше предшествующего нарастания.

Уравнение, определяющее сжимаемость неводонасыщенных грунтов при волновых процессах как при малых, так и больших нагрузках, представляет собой, следовательно, зависимость не только между напряжением и деформацией, но и между их производными. Ранее подобная зависимость экспериментально подтверждалась в области меньших напряжений [1, 6-10]. Из общего хода кривых на фиг. 3 следует, что подобный характер изменения деформации сохранится и при больших напряжениях (в несколько тысяч атмосфер).

Показано также, что волны в исследуемом песчаном грунте, уложенном в котлован, открытый в более плотном суглинистом грунте ненарушенной структуры, в первом приближении плоские, если заряд перекрывает все поперечное сечение котлована. Параметры волн в центре и у края котлована практически совпадают. Действие стенок котлована подобно действию гладкой трубы, оно обусловливает лишь незначительное уменьшение скорости фронта, смещения частиц и давления на расстоянии 4–5 см от них. Ранее было экспериментально установлено [1], что если площадь не перекрывает всего сечения котлована, то происходит заметное искажение волны за счет неодномерности процесса, у границ заряда значения напряжения и скорости фронта снижаются.

Поступила 24 V 1971

ЛИТЕРАТУРА

- Ляхов Г. М., Полякова Н. И. Волны в плотных средах и нагрузки на сооружения. М., «Недра», 1967.
- Григорян С. С., Ляхов Г. М., Мельников В. В., Рыков Г. В. Взрывные волны в лесосидном грунте. ПМТФ, 1963, № 4.
- Рыков Г. В. Экспериментальное исследование поля напряжений при взрыве в песчаном грунте. ПМТФ, 1964, № 1.
- Вовк А. А., Кононенко В. И., Лучко И. А., Плаксий В. А. Исследование параметров ударных волн при взрывах цилиндрических горизонтальных зарядов в суглинке. ПМТФ, 1969, № 3.
- Зверев И. Н., Ляхов Г. М. Экспериментальная проверка уравнения состояния водонасыщенного грунта. Изв. АН СССР, ОТН, Механика и машиностроение, 1960, № 4.
- Ляхов Г. М. Определение вязких свойств грунта. ПМТФ, 1968, № 4.
- Мельников В. В., Рыков Г. В. О влиянии скорости деформирования на сжимаемость лесовых грунтов. ПМТФ, 1965, № 2.
- Ляхов Г. М., Определение динамической сжимаемости грунтов. Основания, фундаменты и механика грунтов, 1966, № 3.
- Ставнице Л. Р. Исследование динамической сжимаемости грунтов. Сб. тр. НИИ Оснований и подземных сооружений, 1966, № 56.
- Красников Н. Д. Динамические свойства грунтов и методы их определения. Л., Стройиздат, 1970.